

第十一章、深度概率图模型

赵涵

2023 年 5 月 23 日

1 受限玻尔兹曼机

玻尔兹曼机是一种存在隐节点的无向图模型。在图模型中最简单的是朴素贝叶斯模型（朴素贝叶斯假设），引入单个隐变量后，发展出了GMM，如果单个隐变量变成序列的隐变量，就得到了状态空间模型（引入齐次马尔可夫假设和观测独立假设就有HMM，Kalman Filter，Particle Filter），为了引入观测变量之间的关联，引入了一种最大熵模型-MEMM，为了克服MEMM中的局域问题，又引入了CRF，CRF是一个无向图，其中，破坏了齐次马尔可夫假设，如果隐变量是链个链式结构，那么又叫线性链CRF。

在无向图的基础上，引入隐变量得到了玻尔兹曼机，这个图模型的概率密度函数是一个指数族分布。对隐变量和观测变量作出一定的限制，就得到了受限玻尔兹曼机（RBM）。

可以看出，不同的概率图模型对下几个特点作出假设：

1. 方向——边的性质；
2. 离散/连续/混合——点的性质；
3. 条件独立性——边的性质；
4. 隐变量——点的性质；
5. 指数族——结构特点。

将观测变量和隐变量分别记为 $v, h, h = \{h_1, \dots, h_m\}, v = \{v_1, \dots, v_n\}$ 。我们知道，无向图根据最大团的分解，可以写为玻尔兹曼分布的形式 $p(x) = \frac{1}{Z} \prod_{i=1}^K \psi_i(x_{ci}) = \frac{1}{Z} \exp(-\sum_{i=1}^K E(x_{ci}))$ ，这也是一个指数族分布。

一个玻尔兹曼机存在一系列的问题，在其推断任务中，想要精确推断，是无法进行的，想要近似推断，计算量过大。为了解决这个问题，一种简化的玻尔兹曼机-受限玻尔兹曼机（Restrict Boltzmann Machine）作出了假设，所有隐变量内部以及观测变量内部没有连接，只在隐变量和观测变量之间有连接，这样一来：

$$p(x) = p(h, v) = \frac{1}{Z} \exp(-E(v, h)) \tag{1}$$

其中能量函数 $E(v, h)$ 可以写出三个部分，包括与节点集合相关的两项以及与边 w 相关的一项，记为：

$$E(v, h) = -(h^T w v + \alpha^T v + \beta^T h) \tag{2}$$

带入原方程，展开有：

$$p(x) = \frac{1}{Z} \exp(h^T w v) \exp(\alpha^T v) \exp(\beta^T h) \tag{3}$$

$$= \frac{1}{Z} \prod_{i=1}^m \prod_{j=1}^n \exp(h_i w_{ij} v_j) \prod_{j=1}^n \exp(\alpha_j v_j) \prod_{i=1}^m \exp(\beta_i h_i) \tag{4}$$

上面这个式子也和RBM的因子图一一对应，用概率图表示（1）如下：

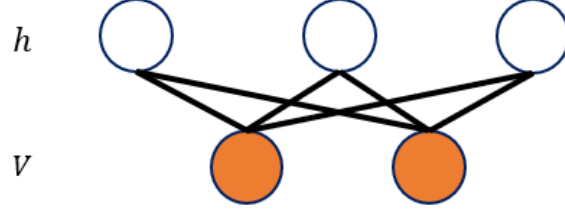


Figure 1: 受限的玻尔兹曼机。

1.1 推断

推断任务包括求后验概率 $p(v|h)$, $p(h|v)$, 以及求边缘概率 $p(v)$ 。我们先看 $p(h|v)$ 。对于一个无向图, 满足局域的Markov性质, 即:

$$p(h_1|h - \{h_1\}, v) = p(h_1|Neighbour(h_1)) = p(h_1|v) \quad (5)$$

我们可以得到:

$$p(h|v) = \prod_{i=1}^m p(h_i|v) \quad (6)$$

考虑Binary RBM, 所有的隐变量只有两个取值0, 1:

$$p(h_l = 1|v) = \frac{p(h_l = 1, h_{-l}, v)}{p(h_{-l}, v)} = \frac{p(h_l = 1, h_{-l}, v)}{p(h_l = 1, h_{-l}, v) + p(h_l = 0, h_{-l}, v)} \quad (7)$$

将能量函数写成和 l 相关或不相关的两项:

$$E(v, h) = -(\sum_{i=1, i \neq l}^m \sum_{j=1}^n h_i w_{ij} v_j + h_l \sum_{j=1}^n w_{lj} v_j + \sum_{j=1}^n \alpha_j v_j + \sum_{i=1, i \neq l}^m \beta_i h_i + \beta_l h_l) \quad (8)$$

定义:

$$h_l H_l(v) = h_l \sum_{j=1}^n w_{lj} v_j + \beta_l h_l \quad (9)$$

$$\bar{H}(h_{-l}, v) = \sum_{i=1, i \neq l}^m \sum_{j=1}^n h_i w_{ij} v_j + \sum_{j=1}^n \alpha_j v_j + \sum_{i=1, i \neq l}^m \beta_i h_i \quad (10)$$

把定义好的带入贝叶斯公式, 有:

$$p(h_l = 1|v) = \frac{\exp(H_l(v) + \bar{H}(h_{-l}, v))}{\exp(H_l(v) + \bar{H}(h_{-l}, v)) + \exp(\bar{H}(h_{-l}, v))} \quad (11)$$

$$= \frac{1}{1 + \exp(-H_l(v))} = \sigma(H_l(v)) \quad (12)$$

于是就得到了后验概率。对于 v 的后验是对称的, 所以类似的可以求解。接下来求边缘概率分布 $p(v)$, 有:

$$p(v) = \sum_h p(h, v) = \sum_h \frac{1}{Z} \exp(h^T x v + \alpha^T v + \beta^T h) \quad (13)$$

$$= \exp(\alpha^T v) \frac{1}{Z} \sum_{h_1} \exp(h_1 w_1 v + \beta_1 h_1) \dots \sum_{h_m} \exp(h_m w_m v + \beta_m h_m) \quad (14)$$

$$= \exp(\alpha^T v) \frac{1}{Z} (1 + \exp(w_1 v + \beta_1)) \dots (1 + \exp(w_m v + \beta_m)) \quad (15)$$

$$= \frac{1}{Z} \exp(\alpha^T v + \sum_{i=1}^m \log(1 + \exp(w_i v + \beta_i))) \quad (16)$$

其中, $\log(1 + \exp(x))$ 叫做Softplus 函数。

2 配分函数的逼近

在学习和推断中，对于一个概率的归一化因子很难处理，这个归一化因子和配分函数相关。假设一个概率分布：

$$p(x|\theta) = \frac{1}{Z(\theta)} \hat{p}(x|\theta), Z(\theta) = \int \hat{p}(x|\theta) dx \quad (17)$$

2.1 包含配分函数的MLE

在学习任务中，采用最大似然：

$$\hat{\theta} = \arg \max_{\theta} p(x|\theta) = \arg \max_{\theta} \sum_{i=1}^N \log p(x^{(i)}|\theta) \quad (18)$$

$$= \arg \max_{\theta} \sum_{i=1}^N \log \hat{p}(x|\theta) - N \log Z(\theta) \quad (19)$$

$$= \arg \max_{\theta} \frac{1}{N} \sum_{i=1}^N \log \hat{p}(x|\theta) - \log Z(\theta) \quad (20)$$

$$= \arg \max_{\theta} \ell(\theta) \quad (21)$$

对参数求梯度，有：

$$\nabla_{\theta} \log Z(\theta) = \frac{1}{Z(\theta)} \nabla_{\theta} Z(\theta) \quad (22)$$

$$= \frac{p(x|\theta)}{\hat{p}(x|\theta)} \int \nabla_{\theta} \hat{p}(x|\theta) dx \quad (23)$$

$$= \int \frac{p(x|\theta)}{\hat{p}(x|\theta)} \nabla_{\theta} \hat{p}(x|\theta) dx \quad (24)$$

$$= E_{p(x|\theta)} [\nabla_{\theta} \log \hat{p}(x|\theta)] \quad (25)$$

由于这个表达式和未知的概率相关，于是无法直接精确求解，需要近似采样，如果没有这一项，那么可以采用梯度下降，但是存在配分函数就无法直接采用梯度下降了。这个期望值，是对模型假设的概率分布，定义真实概率分布为 p_{data} ，于是， $\ell(\theta)$ 中的第一项的梯度可以看成是从这个概率分布中采样出来的 N 个点求和平均，可以近似期望值，即：

$$\nabla_{\theta} \ell(\theta) = E_{p_{data}} [\nabla_{\theta} \log \hat{p}(x|\theta)] - E_{p(x|\theta)} [\nabla_{\theta} \log \hat{p}(x|\theta)] \quad (26)$$

于是，相当于真实分布和模型假设越接近越好。上面这个式子第一项叫做正相，第二项叫做负相。为了得到负相的值，需要采用各种采样方法，如MCMC。假设采样得到了样本 $\hat{x}^{1:m} \sim p_{model}(x|\theta^t)$ ，那么：

$$\theta^{t+1} := \theta^t + \eta \left(\sum_{i=1}^m \nabla_{\theta} \log \hat{p}(x^{(i)}|\theta^t) - \sum_{i=1}^m \nabla_{\theta} \log \hat{p}(\hat{x}^{(i)}|\theta^t) \right) \quad (27)$$

这个算法也叫做基于MCMC采样的梯度上升。每次通过采样得到的样本叫做幻想粒子，如果这些幻想粒子区域的概率高于实际分布，那么最大化参数的结果就是降低这些部分的概率。

2.2 对比散度——CD Learning

上面对于负相的采样，最大的问题是，采样到达平稳分布的步骤数量是未知的。对比散度的方法，是对上述的采样是初始值作出限制，直接采样 $\hat{x}^{(i)} = x^{(i)}$ ，这样可以缩短采样的混合时间。这个算法

叫做CD-k算法， k 就是初始化后进行的演化时间，很多时候，即使 $k = 1$ 也是可以的。我们看MLE的表达式：

$$\hat{\theta} = \arg \max_{\theta} p(x|\theta) \quad (28)$$

$$= \arg \max_{\theta} \frac{1}{N} \sum_{i=1}^N \log p(x^{(i)}|\theta) \quad (29)$$

$$= E_{p_{data}} [\log p_{model}(x|\theta)] \quad (30)$$

$$= \arg \max_{\theta} \int p_{data} \log p_{model} dx \quad (31)$$

$$= \arg \max_{\theta} \int p_{data} \log \frac{p_{model}}{p_{data}} dx \quad (32)$$

$$= \arg \min_{\theta} KL(p_{data}, p_{model}) \quad (33)$$

对于CD-k的采样过程，可以将初始值这些点表示为：

$$p^0 = p_{data} \quad (34)$$

而我们的模型需要采样过程达到平稳分布：

$$p^{\infty} = p_{model} \quad (35)$$

因此，我们需要的是 $KL(p^0, p^{\infty})$ 。定义CD：

$$KL(p^0, p^{\infty}) - KL(p^k, p^{\infty}) \quad (36)$$

这就是CD-k算法第 k 次采样的目标函数。

2.3 RBM的学习问题

RBM的参数为：

$$h = (h_1, \dots, h_m)^T \quad (37)$$

$$v = (v_1, \dots, v_n)^T \quad (38)$$

$$w = (w_{ij})_{m \times n} \quad (39)$$

$$\alpha = (\alpha_1, \dots, \alpha_n)^T \quad (40)$$

$$\beta = (\beta_1, \dots, \beta_m)^T \quad (41)$$

学习问题关注的概率分布为：

$$\log p(v) = \log \sum_h p(h, v) \quad (42)$$

$$= \log \sum_h \frac{1}{Z} \exp(-E(v, h)) \quad (43)$$

$$= \log \sum_h \exp(-E(v, h)) - \log \sum_{v, h} \exp(-E(h, v)) \quad (44)$$

对上面这个式子求参数的梯度，第一项为：

$$\frac{\partial}{\partial \theta} \log \sum_h \exp(-E(v, h)) = -\frac{\sum_h [\exp(-E(h, v)) \frac{\partial E(v, h)}{\partial \theta}]}{\sum_h \exp(-E(h, v))} \quad (45)$$

$$= -\sum_h \frac{\exp(-E(h, v)) \frac{\partial E(v, h)}{\partial \theta}}{\sum_h \exp(-E(h, v))} \quad (46)$$

$$= -\sum_h p(h|v) \frac{\partial E(v, h)}{\partial \theta} \quad (47)$$

对第二项求参数的梯度，有：

$$\frac{\partial}{\partial \theta} \log \sum_{v, h} \exp(-E(h, v)) = -\sum_{h, v} \frac{\exp(-E(v, h)) \frac{\partial E(v, h)}{\partial \theta}}{\sum_{v, h} \exp(-E(h, v))} \quad (48)$$

$$= -\sum_{v, h} p(v, h) \frac{\partial E(v, h)}{\partial \theta} \quad (49)$$

所以有：

$$\frac{\partial}{\partial \theta} \log p(v) = -\sum_h p(h|v) \frac{\partial E(v, h)}{\partial \theta} + \sum_{v, h} p(v, h) \frac{\partial E(v, h)}{\partial \theta} \quad (50)$$

将RBM的模型假设代入：

$$E(v, h) = -(h^T w v + \alpha^T v + \beta^T h) \quad (51)$$

通过对 w_{ij} 求梯度作为例子，得到如下的结果：

$$\frac{\partial}{\partial w_{ij}} E(v, h) = -h_i v_j \quad (52)$$

于是有：

$$\frac{\partial}{\partial \theta} \log p(v) = \sum_h p(h|v) h_i v_j - \sum_{h, v} p(h, v) h_i v_j \quad (53)$$

第一项：

$$\sum_{h_1, h_2, \dots, h_m} p(h_1, h_2, \dots, h_m|v) h_i v_j = \sum_{h_i} p(h_i|v) h_i v_j = p(h_i = 1|v) v_j \quad (54)$$

这里利用了 h_i 是二元变量。

第二项：

$$\sum_{h, v} p(h, v) h_i v_j = \sum_{h, v} p(v) p(h|v) h_i v_j = \sum_v p(v) p(h_i = 1|v) v_j \quad (55)$$

这个求和是指数阶的，于是需要采样解决，可以使用CD-k方法。

对于第一项，可以直接使用训练样本得到，第二项采用CD-k 采样方法，首先使用样本 $v^0 = v$ ，然后采样得到 h^0 ，然后采样得到 v^1 ，这样顺次进行，最终得到 v^k ，对于每个样本都得到一个 v^k ，最终采样得到 N 个 v^k ，于是第二项就是：

$$p(h_i = 1|v^k) v_j^k \quad (56)$$

具体的算法为：

1. 对每一个样本中的 v ，进行采样：

(a) 使用这个样本初始化采样：

(b) 进行 k 次采样 ($0 : k - 1$):

- i. $h_i^l \sim p(h_i|v^l)$
- ii. $v_i^{l+1} \sim p(v_i|h^l)$

(c) 将这些采样出来的结果累加进梯度中；

2. 重复进行上述过程，最终的梯度除以 N 。

2.4 近似推断

这里讲中的近似推断具体描述在深度生成模型中的近似推断。推断的目的有以下几个部分：

- 推断本身，根据结果（观测）得到原因（隐变量）；
- 为参数的学习提供帮助。

但是推断本身是一个困难的任务，计算复杂度往往很高，对于无向图，由于节点之间的联系过多，那么因子分解很难进行，并且相互之间都有耦合，于是很难求解，仅仅在某些情况如RBM中可解，在有向图中，常常由于条件独立性问题，如两个节点之间**条件相关**（explain away），于是求解这些节点的条件概率就很困难，仅仅在某些概率假设情况下可解如高斯模型，于是需要近似推断。事实上，我们常常讲推断问题变为优化问题，即：

$$\text{Log-likelihood} : \sum_{v \in V} \log p(v) \quad (57)$$

对上面这个问题，由于：

$$\log p(v) = \log \frac{p(v, h)}{p(h|v)} = \log \frac{p(v, h)}{q(h|v)} + \log \frac{q(h|v)}{p(h|v)} \quad (58)$$

左右两边对 h 积分，左边有：

$$\int_h \log p(v) q(h|v) dh = \log p(v) \quad (59)$$

右边积分有：

$$E_{q(h|v)}[\log \frac{p(v, h)}{q(h|v)}] + KL(q(h|v), p(h|v)) = E_{q(h|v)}[\log p(v, h)] + H(q) + KL(q, p) \quad (60)$$

其中前两项是ELBO，于是这就变成一个优化ELBO的问题。

3 Sigmoid信念网络

通过概率图来表示Sigmoid信念网络，有如图（2）的形式：每一个节点，都是二值的，即只能取0, 1，这个模型是由Neal在1990年提出来的。这个模型只要足够深，就可以逼近非常复杂的二值分布。模型每条边的权重为 w_{ji} （模型还应该存在一个偏置，但是不影响整个模型的推导，我们省略了），那么其中任意一个节点后验概率分布为：

$$p(S_i = 1 | S_{j:j < i}) = \sigma(\sum_{j < i} w_{ji} S_j) \quad (61)$$

这里的 S_j 是节点 S_i 的父节点。那么另一个取值为0的概率值为：

$$p(S_i = 0 | S_{j:j < i}) = 1 - p(S_i = 1) \quad (62)$$

$$= \sigma(-\sum_{j < i} w_{ji} S_j) \quad (63)$$

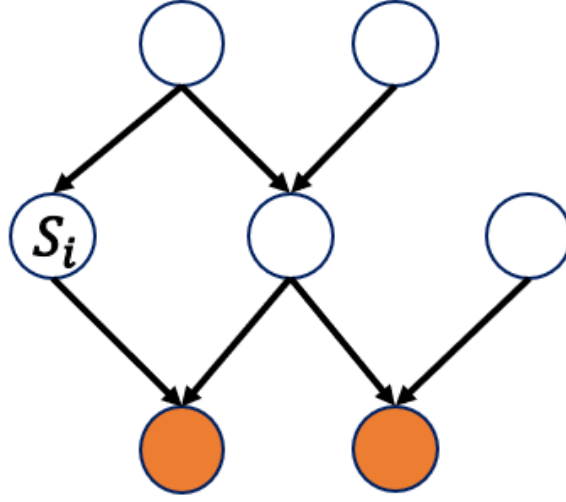


Figure 2: Sigmoid Belief Network的概率图架构。

第二个等号是把 $\sigma(\cdot)$ 函数展开计算得到的。把上面两个方程，综合在一起，引入记号 $S_i^* = 2S_i - 1$ ，那么我们有：

$$p(S_i | S_{j:j < i}) = \sigma(S_i^* \sum_{j < i} w_{ji} S_j) \quad (64)$$

这个模型的后验概率分布的计算是非常复杂的，因为存在相消解释（即有头对头的概率图）。我们接下来，写出来模型的对数似然函数和对应的梯度。我们以上面的7个节点的图为例，分为两组： $S = \{S_1, S_2, \dots, S_T\} = \{v, h\} = \{V, h^{(1)}, h^{(2)}\}$ 。

所有节点的联合概率分布为：

$$p(S) = \prod_i p(S_i | S_{j:j < i}) \quad (65)$$

那么对数似然函数为：

$$\ell(w) = \sum_{v \in V} \log p(v) \quad (66)$$

这里的 v 为第一层的可见随机变量。那么我们对上式的参数，求梯度，梯度进入到求和号内，有：

$$\frac{\partial}{\partial w_{ji}} \log p(v) = \frac{1}{p(v)} \frac{\partial p(v)}{\partial w_{ji}} \quad (67)$$

$$= \frac{1}{p(v)} \frac{\partial \sum_h p(v, h)}{\partial w_{ji}} \quad (68)$$

$$= \sum_h \frac{1}{p(v)} \frac{\partial p(v, h)}{\partial w_{ji}} \quad (69)$$

$$= \sum \frac{p(h|v)}{p(h, v)} \frac{\partial p(v, h)}{\partial w_{ji}} \quad (70)$$

$$= \sum \frac{p(h|v)}{p(S)} \frac{\partial p(S)}{\partial w_{ji}} \quad (71)$$

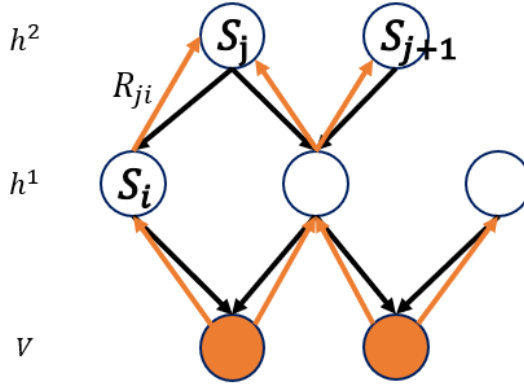


Figure 3: 醒眠算法对概率图的修改。

我们继续对上式进行化简，把 $p(S)$ 的表达式带入，有：

$$\frac{1}{p(S)} \frac{\partial p(S)}{\partial w_{ji}} = \frac{1}{\prod_k p(S_k | S_{j:j < k})} \frac{\Delta_t \partial p(S_i | S_{j:j < i})}{\partial w_{ji}} \quad (72)$$

$$= \frac{1}{p(S_i | S_{j:j < i}) \Delta_t} \frac{\Delta_t \partial p(S_i | S_{j:j < i})}{\partial w_{ji}} \quad (73)$$

$$= \frac{1}{p(S_i | S_{j:j < i})} \sigma(S_i^* \sum_{j < i} w_{ji} S_j) \sigma(-S_i^* \sum_{j < i} w_{ij} S_j) S_i^* S_j \quad (74)$$

$$= \sigma(-S_i^* \sum_{j < i} w_{ij} S_j) S_i^* S_j \quad (75)$$

Δ_t 为其他六个节点的联合概率分布。最后整合在一起，有：

$$\frac{\partial}{\partial w_{ji}} \sum_{v \in V} \log p(v) = \sum_{v \in V} \sum_S p(S|v) \sigma(-S_i^* \sum_{j < i} w_{ij} S_j) S_i^* S_j \quad (76)$$

这里我们使用了 $p(S|v) = p(h, v|v) = p(h|v)$ 的一个技巧。这里的 $p(S|v)$ 是无法求出来的，退而求其次，就是采用MCMC 的方法，即 $E_{(v,h) \sim p(S|v), v \sim p_v}[\cdot]$ 。但是很明显，网络规模一旦很大，计算开销巨大，换句话说，MCMC方法只适用于SBN网络节点很少的时候。

3.1 醒眠算法（Wake-Sleep Algorithm）

平均场方法是最初级的近似方法，把联合概率分布，近似为单个节点的边缘概率分布的连乘。但是由于网络变大，同样也变得计算量巨大。这一节，我们介绍Hinton 在1995年提出的醒眠算法。

Hinton认为，可以把SBN的每条有向边，复制一条与之反向的边，如图（3）所示：把正向边称为Generative Connection，反向边称为Recognition Connection。算法分为两个阶段，第一个阶段称为Wake Phase，先从显层，逐步向上激活神经元，称为Bottom-up，其实就是从可见变量向上获得隐变量的样本（可见变量的样本就是训练数据）；得到样本后，从上到下学习 w_{ji} ，即求权重。第二个阶段称为Sleep Phase，从上到下（Top-down）采样获得样本，此时采样并不困难，因为没有训练数据，并且顶层的节点是互相独立的，换句话说，从上到下采样得到的样本，是虚拟样本；有了样本，那么就可以学习权重 R_{ji} 了，即求反向权重 R 。其实它的目的就是想通过反向边的构造，去近似后验分布 $p(h|v)$ ，醒眠算法是一个精度不算高的算法，但是效率很高，很有启发意义。我们接下来，就看一下，醒眠算法每一步的目标函数与细节。

从上到下，作为一个生成过程，那么概率分布很容易就能写出来，就是所有节点的联合概率分布，即 $p_\theta(v, h)$ ，这里用 θ 代指正向权重 W 。从下到上，是一个后验过程，那么目标函数为 $q_\phi(h|v)$ ，这

里用 ϕ 代指 R 。第一步的Wake Phase的目标函数，就有：

$$E_{q_\phi(h|v)}[\log p_\theta(v, h)] \quad (77)$$

从目标函数可以看出，从下到上采样，然后从上到下去学习。那么采用MLE方法，有：

$$\hat{\theta} = \arg \max_{\theta} E_{q_\phi(h|v)}[\log p_\theta(h, v)], \text{ with } \phi \text{ fixed.} \quad (78)$$

我们可以和之前学习EM算法的公式来比较，发现这里的目标函数就是ELBO。反过来说Sleep Phase的目标函数，有如下的表达：

$$\hat{\phi} = \arg \max_{\phi} E_{p_\theta(h, v)}[\log q_\phi(h|v)] \quad (79)$$

把这个期望，写成积分的形式，有：

$$\hat{\phi} = \arg \max_{\phi} \int p_\theta(v) p_\theta(h|v) \log q_\phi(h|v) dh \quad (80)$$

$$= \arg \max_{\phi} \int p_\theta(h|v) \log q_\phi(h|v) dh \quad (81)$$

$$= \arg \max_{\phi} \int p_\theta(h|v) \log \left(\frac{q_\phi(h|v)}{p_\theta(h|v)} p_\theta(h|v) \right) dh \quad (82)$$

$$= \arg \max_{\phi} \int p_\theta(h|v) \log \left(\frac{q_\phi(h|v)}{p_\theta(h|v)} \right) dh \quad (83)$$

$$= \arg \min_{\phi} KL(p_\theta(h|v), q_\phi(h|v)) \quad (84)$$

第一个等号，使用了贝叶斯规则，把联合概率分布写成了条件概率分布与边缘概率的乘积；第二个与第四个等号，都是去掉了与 ϕ 无关的项。我们继续可以与EM 算法比较，发现这个KL散度，是不一样的，与EM算法对应的正好相反。醒眠算法两个阶段的目标函数是不一样的，即Wake Phase对应的最大化ELBO，等价于最小化 $KL(q_\phi(h|v), p_\theta(h|v))$ 。目标函数的不一致，导致算法并不能保证精确性，因为从上到下的采样过程，都是纯粹虚拟的样本，就像睡着了一样，所以称为Sleep Phase。

4 深度信念网络

深度信念网络（Deep Belief Network）是Hinton在2006年发表的工作。在同时期来说，比最流行的SVM要好，但是希望是巨大的，把深度学习的连接主义推上了历史舞台。今天这个模型已经被淘汰了，但是作为学习机器学习的阶段，还是很有重要意义的。DBN 的概率图如图（4）所示： 我们可以看出，模型分为两部分，是一个复合模型。我们给出所有节点的联合概率分布：

$$p(v, h^1, h^2, h^3) = p(v|h^1, h^2, h^3)p(h^1, h^2, h^3) \quad (85)$$

根据图的性质，可以化简为：

$$= p(v|h^3)p(h^1, h^2, h^3) \quad (86)$$

$$= p(v|h^1)p(h^1|h^2)p(h^2, h^3) \quad (87)$$

$$= \prod_i p(v_i|h^1) \prod_j p(h_j^1|h^2)p(h^2, h^3) \quad (88)$$

第二个等号是因为 h^1 与 h^3 无关，第三个等号是因为上层的被观测后，下层的节点相互独立。接下来我们把Sigmoid网络的函数表示写出来，有：

$$p(v_i|h^1) = \text{sigmoid}(w_{:,i}^1 h^1 + b_i^0) \quad (89)$$

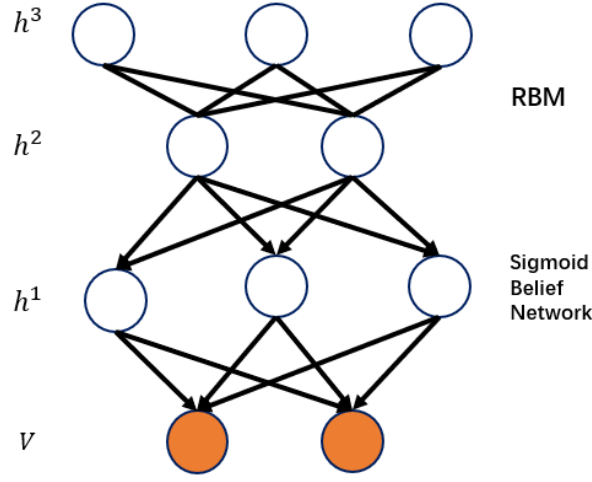


Figure 4: 深度信念网络对应的概率图模型。

$w_{:,i}$ 表示一个列向量，即第 i 列的元素组成的向量。下面写出第二层的条件概率：

$$p(h_i^1|h^2) = \text{sigmoid}(w_{:,i}^{2^T} h^2 + b_i^1) \quad (90)$$

最后再给出RBM的概率：

$$p(h^2, h^3) = \frac{1}{Z} \exp(h^{3^T} W^2 h^2 + h^{2^T} b^2 + h^{3^T} b^3) \quad (91)$$

这个模型为什么这么设计？这是我们接下来要解决的问题。我们先看RBM (1)，对于隐层来说，我们继续堆叠一个RBM，去学习第一个隐层的节点，我们有直觉认为，堆叠的要比一般的效果要好。理论上，可以无限的叠加，但是层数越多，计算量越大，所以要均衡效果与开销。我们看显层的概率分布：

$$p(v) = \sum_{h^1} p(v, h^1) \quad (92)$$

$$= \sum_{h^1} p(h^1) p(v|h^1) \quad (93)$$

这里假设固定住 $p(v|h^1)$ ，所以受限的玻尔兹曼机，必须去掉向上的方向，因为向上的方向导致在学习过程中，会影响下面的权重，所以DBN可以看成是RBM的堆叠。那么从这个角度出发，分析为什么DBN 效果比RBM的效果要好。

首先给出对数似然函数：

$$\log p(v) = \log \sum_{h^1} p(v, h^1) \quad (94)$$

我们引入一个后验分布 $q(h^1|v)$ ，上式可以写成：

$$= \log \sum_{h^1} q(h^1|v) \frac{p(h^1, v)}{q(h^1|v)} \quad (95)$$

$$= \log E_{q(h^1|v)} \left[\frac{p(h^1, v)}{q(h^1|v)} \right] \quad (96)$$

$$\geq E_{q(h^1|v)} \left[\log \frac{p(h^1, v)}{q(h^1|v)} \right] \quad (97)$$

$$= \sum_{h^1} q(h^1|v) [\log p(h^1, v) - \log q(h^1|v)] \quad (98)$$

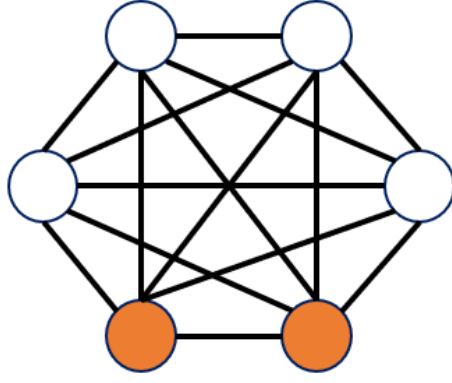


Figure 5: 玻尔兹曼机的概率图表示。

那么DBN加了一层之后，那么 $\log p(h^1 v)$ 就可以写成：

$$\log p(h^1, v) = \log p(h^1) + \log p(v|h^1) \quad (99)$$

把这个等式带入到公式（98），有：

$$= \sum_{h^1} q(h^1|v) \log p(h^1) + Const. \quad (100)$$

然后DBN对 $p(h^1)$ 再次进行建模，即又加了一层，所以ELBO，又增加了。换句话说，DBN 的效果比RBM的效果要好。

我们可以对第一个隐层取近似，有：

$$p(h^1|v) \simeq q(h^1|v) = \prod_i q(h_i^1|v) = \prod_i \text{sigmoid}(w_{i,\cdot}^1 + b_i^1) \quad (101)$$

关于学习分为两步：

- 预训练（Pre-training，堆叠RBM）；
- 微调（Fine-tuning）：醒眠算法或者BP。

里面的细节，建议看Hinton的论文《A fast learning algorithm for Deep Belief Network》。

5 玻尔兹曼机

玻尔兹曼机是一般模型，概率图的表示（5）如下：模型的节点分为两类，一类是可观测节点 $V = \{0, 1\}^D$ ，隐藏节点 $h = \{0, 1\}^P$ 。这里的 D 和 P 分别表示节点的个数。模型的参数分为三种：

1. $L = [L_{ij}]_{D \times D}$ 表示可观测节点之间连接的权重；
2. $J = [J_{ij}]_{P \times P}$ 表示隐藏节点之间连接的权重；
3. $W = [W_{ij}]_{D \times P}$ 表示的是可见节点与隐藏节点之间连接的权重。

模型的联合概率分布为：

$$p(v, h) = \frac{1}{Z} \exp(-E(v, h)) \quad (102)$$

$$E(v, h) = -(v^T W h + \frac{1}{2} v^T L v + \frac{1}{2} h^T J h) \quad (103)$$

那么还是按照流程，写出对数似然函数，并求得参数梯度。假设有 N 个可见节点。先写出对数似然函数：

$$\ell(\theta) = \frac{1}{N} \sum_{v \in V} \log p(v) \quad (104)$$

假定参数用 θ 代替，那么对对数似然函数求梯度，有：

$$\frac{\partial}{\partial \theta} \frac{1}{N} \sum_{v \in V} \log p(v) = \frac{1}{N} \sum_{v \in V} \frac{\partial \log p(v)}{\partial \theta} \quad (105)$$

那么我们把里面的偏导数，之前我们已经推导过了，这里直接写出来：

$$\frac{\partial \log p(v)}{\partial \theta} = \sum_{v,h} p(v,h) \frac{\partial E(v,h)}{\partial \theta} - \sum_h p(h|v) \frac{\partial E(v,h)}{\partial \theta} \quad (106)$$

我们这里看其中对 W 的梯度：

$$\frac{\partial \log p(v)}{\partial W} = \sum_{v,h} p(v,h) (-Vh^T) + \sum_h p(h|v) (Vh^T) \quad (107)$$

把这部分带入到整体的参数求导式子当中，就得到了最终的梯度，值得注意的是，第一项的求和出现了重复，这里进行一个化简，去掉一个对 V 的求和号，这里就不在重复了。直接给出结果：

$$E_{p_{data}}[Vh^T] - E_{p_{model}}[Vh^T] \quad (108)$$

这里的 $p_{data} \sim p_{data}(v,h) = p_{data}(v)p_{model}(h|v)$, $p_{model} = p_{model}(v,h)$ ，第一项称为**正相**（positive phase），第二项称为**负相**（negative phase）。有了这些，就可以使用随机梯度上升更新参数了。那么这里的期望怎么计算，参看《深度学习》里的公式。有：

$$p(v_i = 1|h, V_{-i}) = \sigma\left(\sum_{j=1}^P w_{ij}h_j + \sum_{k=1_1}^D L_{ik}v_k\right) \quad (109)$$

$$p(h_j = 1|h_{-j}) = \sigma\left(\sum_{i=1}^D w_{ij}v_i + \sum_{m=1_1}^P J_{im}h_m\right) \quad (110)$$

很明显，有了这些条件概率，离散型随机变量，首选MCMC采样方法，逼近期望值。¹

下面我们采用另一种近似方法——变分推断，绕过MCMC采样步骤。ELBO的表达式如下：

$$ELBO = \log p_\theta(v) - KL(q_\phi, p_\theta) = \sum_h q_\phi(h|v) \log p_\theta(v, h) + H[q] \quad (111)$$

对 $q_\phi(h|v)$ 取近似，有：

$$q_\phi(h|v) = \prod_{j=1}^P q_\phi(h_j|v) \quad (112)$$

因为是二值分布，所以有：

$$q_\phi(h_j = 1|v) = \phi_j \quad (113)$$

$$\phi = \{\phi_j\}_{j=1}^P \quad (114)$$

¹这两个条件概率公式，我们再此不做推导，相对来说，有些复杂，具体的细节，参看《深度学习》的相关章节（20.1,20.4.1,20.4.2,20.4.3），也可以参看白板推导机器学习的玻尔兹曼机视频。

再把联合概率分布带入，有：

$$\hat{\theta}_j = \arg \max_{\phi} ELBO \quad (115)$$

$$= \arg \max_{\phi} \sum_h q_{\phi}(h|v) [-\log Z + V^T W h + \frac{1}{2} V^T L V + \frac{1}{2} h^T J h] + H[q] \quad (116)$$

$$= \arg \max_{\phi} \sum_h q_{\phi}(h|v) [-\log Z + \frac{1}{2} V^T L V] + \sum_h q_{\phi}(h|v) [V^T W h + \frac{1}{2} h^T J h] + H[q] \quad (117)$$

$$= \arg \max_{\phi} \sum_h q_{\phi}(h|v) V^T W h + \frac{1}{2} q_{\phi}(h|v) h^T J h + H[q] \quad (118)$$

最后一个等号，是因为在 $\arg \max$ 时，都与 ϕ 无关。把这三项进行编号，分别计算：

$$[1] = \sum_h q_{\phi}(h|v) \sum_{i=1}^D \sum_{j=1}^P v_i w_{ij} h_j \quad (119)$$

$$= \sum_h \prod_{\hat{j}=1}^P q_{\phi}(h_{\hat{j}}|v) \sum_{i=1}^D \sum_{j=1}^P v_i w_{ij} h_j \quad (120)$$

我们看其中一项，有：

$$\sum_h \prod_{\hat{j}=1}^P q_{\phi}(h_{\hat{j}}|v) v_1 w_{12} h_2 = \sum_{h_2} q_{\phi}(h_2|v) v_1 w_{12} h_2 \sum_{h \setminus h_2} \prod_{\hat{j}=1 \setminus 2}^P q_{\phi}(h_{\hat{j}}|v) \quad (121)$$

$$= \sum_{h_2} q_{\phi}(h_2|v) v_1 w_{12} h_2 \quad (122)$$

$$= q_{\phi}(h_2 = 1|v) v_1 w_{12} \quad (123)$$

$$= \phi_2 v_1 w_{12} \quad (124)$$

找到以上的规律，那么总的结果为：

$$[1] = \sum_{i=1}^D \sum_{\hat{j}=1}^P \phi_{\hat{j}} v_i w_{i\hat{j}} \quad (125)$$

那么第二项，第三项就不再推导了。直接给出结果，有：

$$[2] = \sum_{j=1}^P \sum_{m=1 \setminus j}^P \phi_j \phi_m J_{jm} \quad (126)$$

$$[3] = - \sum_{j=1}^P [\phi_j \log \phi_j + (1 - \phi_j) \log(1 - \phi_j)] \quad (127)$$

然后让这三项分别对 ϕ_j 求偏导数，有：

$$\frac{\partial}{\partial \phi_j} [1] = \sum_{i=1}^D v_i W_{ij} \quad (128)$$

$$\frac{\partial}{\partial \phi_j} [2] = \sum_{m=1 \setminus j}^P \phi_m J_{jm} \quad (129)$$

$$\frac{\partial}{\partial \phi_j} [3] = - \log \frac{\phi_j}{1 - \phi_j} \quad (130)$$

最后令：

$$\frac{\partial}{\partial \phi_j} ([1] + [2] + [3]) = 0 \quad (131)$$

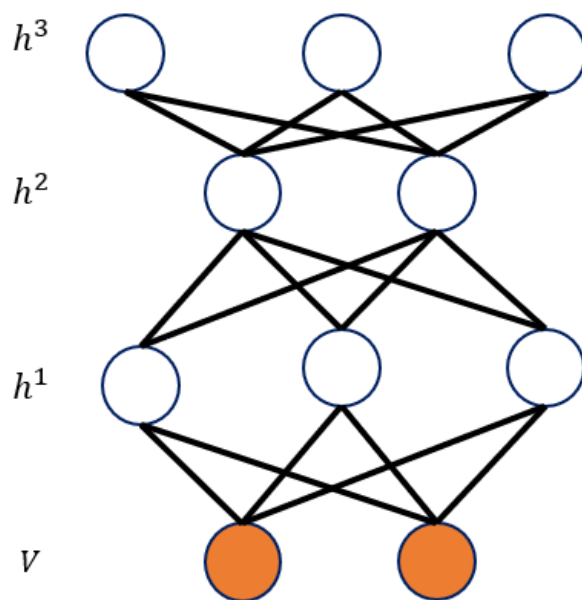


Figure 6: 深度玻尔兹曼机的概率图表示。

得到：

$$\phi_j = \sigma\left(\sum_{i=1}^D v_i W_{ij} + \sum_{m=1 \setminus j}^P \phi_m J_{jm}\right) \quad (132)$$

这个方程，就是不动点方程，采用梯度上升，逐步求解。那么我们就不需要采样了，直接求后验概率就可以了。

6 深度玻尔兹曼机

在介绍深度玻尔兹曼机之前，我们一步一步的深入，历史上却是现有的BM（1983），后来提出RBM（1986），2002年提出对比散度（让采样算法更加高效）的算法，在2006提出了DBN，最后在2008年提出了DBM，即深度玻尔兹曼机。

深度玻尔兹曼机（Deep Boltzmann Machine）是多层的，概率图（6）如下：对于深度玻尔兹曼机，训练方法也是分为两步：

- 预训练（Pre-training）
- 随机梯度上升（SGA）

我们这里，主要介绍预训练如何做。因为是多个RBM的堆叠。对于单个受限的玻尔兹曼机，似然函数有：

$$p(V) = \sum_{h^1} p(V, h^1) \quad (133)$$

$$= \sum_{h^1} p(h^1; W^1) p(V|h^1; W^1) \quad (134)$$

对于第二个RBM，我们需要对第一个RBM的隐藏层进行采样，作为第二个RBM的样本，即：

$$p(h^1|V; W^1) = \prod_{i=1}^n p(h_i^1|V; W^1) \quad (135)$$

采用吉布斯采样，一个一个采样，假设采样了 N 个样本。那么对于第二个RBM，我们同样有：

$$p(h^1; W^2) = \sum_{h^2} p(h^1, h^2; W^2) \quad (136)$$

换句话说，我们在第一个RBM的基础上，又添加了一层。那么我们要问，真正的 $p(h^1)$ 与哪一层相关？很明显，既与 W^1 相关，又与 W^2 相关。即：

$$p(h^1) = \sum_{h^2, v} p(v, h^1, h^2) \quad (137)$$

一个直觉就是，采用 $p(h^1; W^1)$ 和 $p(h^2; W^2)$ 的算数平均数去近似 $p(h^1; W^1, W^2)$ 。那么我们把这两个概率分别写出来：

$$p(h^1; W^1) = \sum_v p(v, h^1; W^1) = \sum_V p(V) p(h^1|V; W^1) \quad (138)$$

$$p(h^2; W^2) = \sum_{h^2} p(h^1, h^2; W^2) = \sum_{h^2} p(h^2) p(h^1|h^2; W^2) \quad (139)$$

那么这两个式子采用MC采样近似，有：

$$p(h^1; W^1) \simeq \frac{1}{N} \sum_{v \in V} p(h^1|V; W^1) \quad (140)$$

$$p(h^2; W^2) \simeq \frac{1}{N} \sum_{h^2 \in H} p(h^2|h^1; W^2) \quad (141)$$

如果把这两个分布，简单相加，会存在重复计算的问题（double counting problem）。因为 h^2 的采样，同样来自于 V ，那么就意味着样本被重复使用了一次。这样就会出现一个问题，学习的效果非常不好，概率分布会非常尖锐。所以进一步的，只需要把系数减半就行了，换句话说，对于每个RBM，把所有层对应的系数，全都除以2，作为DBM的参数，第一层和最后一层，要考虑边界条件，需要做一些改造，把第一层的向下的权重，除以2，最后一层向上的权重，除以2，以此来保证，对于第一层来说，向上输入的样本是两倍权重的样本，向下输出的样本是单倍权重的样本。关于这些细节，参看文献[?]。

References